

高速运动中激波的近似计算*

江 瑜 书

(中国科学院力学研究所)

提 要

本文着重分析了 Rosciszewski 的计算激波的方法和 Whitham 的特征准则,并指出了近似计算激波的途径。作为一个例子,计算了钝头圆柱体在高超声速运动下产生的激波。

一、引 言

激波的传播,一般说来,既要满足给定的初始条件和边界条件,又要满足运动方程。为了简化计算, Chester^[1] 在小扰动理论的基础上,建立了在变截面管道中传播的平面激波的 M 数(或激波的强度)与管道截面积之间的关系。后来 Whitham^[2] 发现,这个关系可以很简单地从与激波传播方向相同的那组特征关系求得,并且发现,这种近似关系对于向中心传播的柱面或球面强激波也是适用的。这就是 Whitham 的未经过严格证明的特征准则。由于这个事实的启发, Rosciszewski^[3,4] 企图通过沿特征线积分来建立这种关系。我们认为 Rosciszewski 的结果是值得商榷的。

为了明确起见,我们以定常运动为例来说明 Rosciszewski 提出的问题。当高速气流绕过迴转体时,除了沿流线的条件外,运动还要满足两个特征方程。在柱面坐标系 (x, r, φ) 内,这两个方程是:

$$\rho q^2 \operatorname{tg} \mu \frac{\partial \theta}{\partial \xi} + \frac{\partial p}{\partial \xi} + \frac{\rho q^2 \sin \theta \sin \mu \operatorname{tg} \mu}{\sin(\theta + \mu)} \frac{\partial \ln r}{\partial \xi} = 0, \quad (1)$$

$$\rho q^2 \operatorname{tg} \mu \frac{\partial \theta}{\partial \eta} - \frac{\partial p}{\partial \eta} - \frac{\rho q^2 \sin \theta \sin \mu \operatorname{tg} \mu}{\sin(\theta - \mu)} \frac{\partial \ln r}{\partial \eta} = 0, \quad (2)$$

式中 q, θ, ρ, p, μ 分别为气体的速度,流速与 x 轴之间的夹角,密度,压力和 Mach 角; ξ, η 分别为沿正、负特征线族 c_+, c_- 的特征坐标(图 1)。对式(1)分别沿 c_+ 族特征线 I 及与之相邻的特征线 II 积分,并将所得的结果相减, Rosciszewski 得到

$$p_w - p_s - (p_s - p_s) + \int_{s'}^{w'} \left[\rho q^2 \operatorname{tg} \mu d\theta + \frac{\rho q^2 \sin \theta \sin \mu \operatorname{tg} \mu}{\sin(\theta + \mu)} d \ln r \right] - \int_s^w \left[\rho q^2 \operatorname{tg} \mu d\theta + \frac{\rho q^2 \sin \theta \sin \mu \operatorname{tg} \mu}{\sin(\theta + \mu)} d \ln r \right] = 0, \quad (3)$$

式中下标 s, w 分别表示物面和激波。当特征线 I 趋近于特征线 II 时,他得到

$$dp_w - dp_s + (\rho q^2 \operatorname{tg} \mu)_w d\theta_w - (\rho q^2 \operatorname{tg} \mu)_s d\theta_s + (d[\rho q^2 \operatorname{tg} \mu])_m [\theta_w - \theta_s] +$$

* 1964年8月4日收到。

$$\begin{aligned}
& + \left[\frac{\rho q^2 \sin \theta \sin \mu \operatorname{tg} \mu}{\sin(\theta + \mu)} \right]_w d \ln r_w - \left[\frac{\rho q^2 \sin \theta \sin \mu \operatorname{tg} \mu}{\sin(\theta + \mu)} \right]_s d \ln r_s + \\
& + \left(d \left[\frac{\rho q^2 \sin \theta \sin \mu \operatorname{tg} \mu}{\sin(\theta + \mu)} \right] \right)_m \left[\ln \frac{r_w}{r_s} \right] = 0. \quad (4)
\end{aligned}$$

然后他略去了上式中的平均量 $(d[\rho q^2 \operatorname{tg} \mu])_m [\theta_w - \theta_s]$ 和 $\left(d \left[\frac{\rho q^2 \sin \theta \sin \mu \operatorname{tg} \mu}{\sin(\theta + \mu)} \right] \right)_m \left[\ln \frac{r_w}{r_s} \right]$, 建立了激波和物体上各物理量之间的关系

$$\begin{aligned}
dp_w + [\rho q^2 \operatorname{tg} \mu]_w d\theta_w + \left[\frac{\rho q^2 \sin \theta \sin \mu \operatorname{tg} \mu}{\sin(\theta + \mu)} \right]_w d \ln r_w = \\
= dp_s + [\rho q^2 \operatorname{tg} \mu]_s d\theta_s + \left[\frac{\rho q^2 \sin \theta \sin \mu \operatorname{tg} \mu}{\sin(\theta + \mu)} \right]_s d \ln r_s. \quad (5)
\end{aligned}$$

我们认为, 关系 (5) 如果成立, 激波的形状就将直接依赖于物面上的条件而与流场无关。我们将在第二节进一步说明这结果是否正确。另外, 他所忽略的平均项一般是不小的。

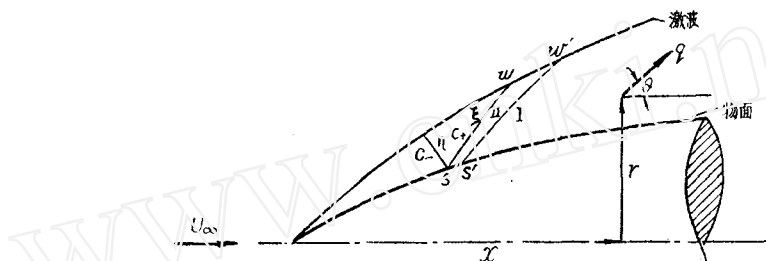


图 1

另一方面, 我们知道, Whitham 的特征准则的应用则是有限性的。根据这个准则, 初始或边界条件和流场对激波的运动不起作用, 例如向中心传播的柱面或球面激波就确是如此。在这种情形下, Whitham 准则就提供了一个满意的近似。但是, 对向外传播的柱面和球面激波, 由于能量条件的要求, 这个准则就不适用了。在第三节里对这个问题进行具体分析。

在激波形状的计算方面, 近年来许多作者较多地采用了 Черный 的动量积分法。这种方法比边界值的数值解法自然是简便多了; 但是, 它的简化条件是适当选择流场中各物理量分布, 而这在问题未解决之前是难于做到恰到好处的。一个合理的途径可能是利用激波上的微分关系式, 因为这里表示流场影响的量是可以通过局部展开的方法来计算的。作为一个例子, 在第四节, 我们对钝头圆柱体的激波形状进行了计算。这个例子具体地说明了, 在大多数情况下, 激波的形状和流场是密切联系着的。因此, 用 Whitham 准则处理这类问题是不适用的。

二、激波曲率与流线曲率之间的关系

为了证明式 (4) 中的平均量不能忽略, 我们利用方程 (3) 中的两个积分, 并使 $\Delta \eta$ 趋于零, 得到

$$\int_{\xi_s + \Delta \xi_s}^{\xi_w + \Delta \xi_w} \left[\rho q^2 \operatorname{tg} \mu \frac{\partial \theta}{\partial \xi} + \frac{\rho q^2 \sin \theta \sin \mu \operatorname{tg} \mu}{\sin(\theta + \mu)} \frac{\partial \ln r}{\partial \xi} \right] d\xi -$$

$$\begin{aligned}
& - \int_{\xi_s}^{\xi_w} \left[\rho q^2 \operatorname{tg} \mu \frac{\partial \theta}{\partial \xi} + \frac{\rho q^2 \sin \theta \sin \mu \operatorname{tg} \mu}{\sin(\theta + \mu)} \frac{\partial \ln r}{\partial \xi} \right] d\xi = \\
& = \left[\rho q^2 \operatorname{tg} \mu \frac{\partial \theta}{\partial \xi} + \frac{\rho q^2 \sin \theta \sin \mu \operatorname{tg} \mu}{\sin(\theta + \mu)} \frac{\partial \ln r}{\partial \xi} \right]_w d\xi_w - \\
& - \left[\rho q^2 \operatorname{tg} \mu \frac{\partial \theta}{\partial \xi} + \frac{\rho q^2 \sin \theta \sin \mu \operatorname{tg} \mu}{\sin(\theta + \mu)} \frac{\partial \ln r}{\partial \xi} \right]_s d\xi_s + \\
& + d\eta \int_{\xi_s}^{\xi_w} \frac{\partial}{\partial \eta} \left[\rho q^2 \operatorname{tg} \mu \frac{\partial \theta}{\partial \xi} + \frac{\rho q^2 \sin \theta \sin \mu \operatorname{tg} \mu}{\sin(\theta + \mu)} \frac{\partial \ln r}{\partial \xi} \right] d\xi. \quad (6)
\end{aligned}$$

分别以 η 和 ξ 对式 (1), (2) 微分, 得到

$$\begin{aligned}
& \frac{\partial}{\partial \eta} \left[\rho q^2 \operatorname{tg} \mu \frac{\partial \theta}{\partial \xi} + \frac{\rho q^2 \sin \theta \sin \mu \operatorname{tg} \mu}{\sin(\theta + \mu)} \frac{\partial \ln r}{\partial \xi} \right] = \\
& = - \frac{\partial}{\partial \xi} \left[\rho q^2 \operatorname{tg} \mu \frac{\partial \theta}{\partial \eta} - \frac{\rho q^2 \sin \theta \sin \mu \operatorname{tg} \mu}{\sin(\theta - \mu)} \frac{\partial \ln r}{\partial \eta} \right].
\end{aligned}$$

利用这结果改写式 (6) 右端第三项, 然后代入式 (3), 得到

$$\begin{aligned}
& dp_w + \left(\rho q^2 \operatorname{tg} \mu \frac{\partial \theta}{\partial \xi} \right)_w d\xi_w + \left[\frac{\rho q^2 \sin \theta \sin \mu \operatorname{tg} \mu}{\sin(\theta + \mu)} \frac{\partial \ln r}{\partial \xi} \right]_w d\xi_w - \\
& - \left(\rho q^2 \operatorname{tg} \mu \frac{\partial \theta}{\partial \eta} \right)_w d\eta_w + \left[\frac{\rho q^2 \sin \theta \sin \mu \operatorname{tg} \mu}{\sin(\theta - \mu)} \frac{\partial \ln r}{\partial \eta} \right]_w d\eta_w = \\
& = dp_s + \left(\rho q^2 \operatorname{tg} \mu \frac{\partial \theta}{\partial \xi} \right)_s d\xi_s + \left[\frac{\rho q^2 \sin \theta \sin \mu \operatorname{tg} \mu}{\sin(\theta + \mu)} \frac{\partial \ln r}{\partial \xi} \right]_s d\xi_s - \\
& - \left(\rho q^2 \operatorname{tg} \mu \frac{\partial \theta}{\partial \eta} \right)_s d\eta_s + \left[\frac{\rho q^2 \sin \theta \sin \mu \operatorname{tg} \mu}{\sin(\theta - \mu)} \frac{\partial \ln r}{\partial \eta} \right]_s d\eta_s. \quad (7)
\end{aligned}$$

由于 $dp_w = \left(\frac{\partial p}{\partial \xi} \right)_w d\xi_w + \left(\frac{\partial p}{\partial \eta} \right)_w d\eta_w$, 根据方程 (1) 和 (2), 上式两端将分别等于零:

$$\begin{aligned}
& dp_w + \left(\rho q^2 \operatorname{tg} \mu \frac{\partial \theta}{\partial \xi} \right)_w d\xi_w - \left(\rho q^2 \operatorname{tg} \mu \frac{\partial \theta}{\partial \eta} \right)_w d\eta_w + \left[\frac{\rho q^2 \sin \theta \sin \mu \operatorname{tg} \mu}{\sin(\theta + \mu)} \frac{\partial \ln r}{\partial \xi} \right]_w d\xi_w + \\
& + \left[\frac{\rho q^2 \sin \theta \sin \mu \operatorname{tg} \mu}{\sin(\theta - \mu)} \frac{\partial \ln r}{\partial \eta} \right]_w d\eta_w = 0, \quad (8)
\end{aligned}$$

$$\begin{aligned}
& dp_s + \left(\rho q^2 \operatorname{tg} \mu \frac{\partial \theta}{\partial \xi} \right)_s d\xi_s - \left(\rho q^2 \operatorname{tg} \mu \frac{\partial \theta}{\partial \eta} \right)_s d\eta_s + \left[\frac{\rho q^2 \sin \theta \sin \mu \operatorname{tg} \mu}{\sin(\theta + \mu)} \frac{\partial \ln r}{\partial \xi} \right]_s d\xi_s + \\
& + \left[\frac{\rho q^2 \sin \theta \sin \mu \operatorname{tg} \mu}{\sin(\theta - \mu)} \frac{\partial \ln r}{\partial \eta} \right]_s d\eta_s = 0. \quad (9)
\end{aligned}$$

这样我们就得到了两个关系。这两个关系表明, 激波形状与边界条件直接联系是不可能的; 在一般情况下, 激波的确切必须和流场的确定同时进行, 这就证明了, Rosciszewski 的上述关系 (5), 严格地说, 是不存在的。从式 (7) 我们可以看出, 他所忽略的两项平均量是

$$\begin{aligned}
& (d[\rho q^2 \operatorname{tg} \mu])_m (\theta_w - \theta_s) + \left(d \left[\frac{\rho q^2 \sin \theta \sin \mu \operatorname{tg} \mu}{\sin(\theta + \mu)} \right] \right)_m (\ln r_w - \ln r_s) = \\
& = -2 \left(\rho q^2 \operatorname{tg} \mu \frac{\partial \theta}{\partial \eta} \right)_w d\eta_w + \rho q^2 \operatorname{tg} \mu \left\{ \left[\frac{\sin \theta \sin \mu}{\sin(\theta - \mu)} \frac{\partial \ln r}{\partial \eta} \right]_w d\eta_w - \right.
\end{aligned}$$

$$- \left[\frac{\sin \theta \sin \mu}{\sin(\theta + \mu)} \frac{\partial \ln r}{\partial \xi} \right]_w d\xi_w \left. \right\} + 2 \left(\rho q^2 \operatorname{tg} \mu \frac{\partial \theta}{\partial \eta} \right)_s d\eta_s - \\ - \rho q^2 \operatorname{tg} \mu \left\{ \left[\frac{\sin \theta \sin \mu}{\sin(\theta - \mu)} \frac{\partial \ln r}{\partial \eta} \right]_s d\eta_s - \left[\frac{\sin \theta \sin \mu}{\sin(\theta + \mu)} \frac{\partial \ln r}{\partial \xi} \right]_s d\xi_s \right\},$$

从下面第三节的分析中容易看出,这两项平均量并不是微不足道的。

在 \$(s, n)\$ 坐标系内 (\$s\$ 为沿流线的弧长, \$n\$ 为与流线正交的曲线的弧长), 关系 (8) 和 (9) 的意义是非常明显的, 它们分别是:

$$\left. \begin{aligned} d\theta_w + \left[\frac{M^2 - 1}{\rho q^2} \operatorname{tg}(\beta - \theta) \right]_w dp_w + [(M^2 - 1) \operatorname{tg}^2(\beta - \theta) - 1]_w \left(\frac{\partial \theta}{\partial s} \right)_w ds_w + \\ + \left(\frac{\sin \theta}{r} \right)_w dn_w = 0, \\ \left[\frac{\partial \theta}{\partial s} \rho q^2 + \frac{\partial p}{\partial n} \right]_s ds_s = 0. \end{aligned} \right\} \quad (10)$$

这里表示物面上关系的第二式便是 \$n\$ 方向的动量方程。如果将式 (10) 中第一式两边除以 \$ds_w\$ [= \$d\sigma \cos(\beta - \theta)\$, \$\sigma\$ 是沿激波的距离, \$\beta\$ 是激波角], 得到

$$K_s [(M^2 - 1) \operatorname{tg}^2(\beta - \theta) - 1]_w = \left[\frac{-1}{\cos(\beta - \theta)} \right]_w K_w \frac{d\theta_w}{d\beta} - \\ - \left[\frac{\operatorname{tg}(\beta - \theta)}{\cos(\beta - \theta)} \frac{M^2 - 1}{\rho q^2} \right]_w K_w \frac{dp_w}{d\beta} + \left[\operatorname{tg}(\beta - \theta) \right]_w \left(\frac{\sin \theta}{r} \right)_w, \quad (11)$$

式中 \$K_s = -\frac{d\theta}{ds}\$ 和 \$K_w = -\frac{d\beta}{d\sigma}\$ 分别是流线和激波的曲率。这就是大家熟悉的激波曲率和流线曲率之间的关系。这个关系表明, 在定常运动情形下, 激波的形状和当地流场是紧密地联系在一起的。

三、关于 Whitham 的特征准则

现在我们来探讨, 在定常运动情形下, Whitham 的特征准则成立的条件。为此, 我们可以将方程 (10) 中第 1 式改写为

$$\frac{d\theta_w}{dr_w} + \left(\frac{1}{\rho q^2 \operatorname{tg} \mu} \right)_w \frac{dp_w}{dr_w} + \left(\frac{\sin \theta \sin \mu}{\sin(\theta + \mu)} \right)_w \frac{1}{r_w} = \\ = \left(\frac{1}{\rho q^2 \operatorname{tg} \mu} \right)_w \left[1 - \frac{\operatorname{tg}(\beta - \theta)}{\operatorname{tg} \mu} \right]_w \frac{dp_w}{dr_w} + \left[1 - \frac{\operatorname{tg}^2(\beta - \theta)}{\operatorname{tg}^2 \mu} \right]_w \left(\frac{\partial \theta}{\partial s} \right)_w \frac{ds_w}{dr_w} + \\ + \left(\frac{\sin \theta}{r} \right)_w \left[\frac{\sin \mu}{\sin(\theta + \mu)} - \frac{\sin(\beta - \theta)}{\sin \beta} \right]_w. \quad (12)$$

我们早已知道, 正特征线族上的特征关系为

$$d\theta + \frac{1}{\rho q^2 \operatorname{tg} \mu} dp + \frac{\sin \theta \sin \mu}{\sin(\theta + \mu)} \frac{dr}{r} = 0, \text{ 在 } \frac{dr}{dx} = \operatorname{tg}(\theta + \mu) \text{ 上.}$$

Whitham 的特征准则乃是让特征关系近似地在激波上满足:

$$d\theta_w + \left(\frac{1}{\rho q^2 \operatorname{tg} \mu} \right)_w dp_w + \left[\frac{\sin \theta \sin \mu}{\sin(\theta + \mu)} \right]_w \frac{dr_w}{r_w} = 0. \quad (13)$$

在超声速情形下, 如果物体的细长比 \$\tau\$ 小, 在它前方出现的激波就会弱。在这种情形

下,式(12)左边三項 $d\theta_w/dr_w$, dp_w/dr_w 和 $(\sin\theta/r)_w$ 的系数的量級都是 $O(1)$, 而右边三項的系数的量級則都是 $O(\tau^2)$. 因此, 右边各項就可以忽略. 这也就是說, 在弱激波的条件下, Whitham 的特征准則是成立的. 不难証明, 这个結論对平面問題也是适用的.

在高超声速情形下 ($M_\infty \gg 1$, $\tau < 1$, 而 $M_\infty\tau \geq 1$), 靠近物体将出现強激波. 如果来流的密度和速度分别为 ρ_∞ 和 U_∞ , 流場中各物理量的量級将是:

$$\frac{p}{\rho_\infty U_\infty^2} = O(\tau^2), \quad \frac{\rho}{\rho_\infty} = O\left(\frac{\gamma+1}{\gamma-1}\right), \quad \frac{q}{U_\infty} = O(1), \quad \theta = O(\tau), \quad \beta = O(\tau). \quad (14)$$

根据上式和激波层概念, 我們可以証明, 式(12)中各項的量級都是 $O(1)$. 因此, 流綫曲率的影响是不能忽略的. 同样, 我們也可以証明, 在鈍体头部亚声速区域中, $\beta \approx 1$, 流綫曲率的作用也是重要的.

我們利用 Белоцерковский^[5] 的繞球体运动的数字結果, 在 $\gamma = 1.4$ 和 $M_\infty = \infty$ 的条件下計算了式(10)中第1式的第1, 2, 4等項. 所得結果表明, 这些項的数值的确是同一量級的, 而它們的和, 即包含 $\left(\frac{\partial\theta}{\partial s}\right)_w$ 的一項, 也是同一量級. 这就証明了 Whitham 的准則在高超声速情形下是不适用的.

四、繞鈍头圓柱体的激波的計算

为了进一步闡明激波的形状与流場的密切关系, 我們从式(11)出发計算了繞鈍头圓柱体 ($\gamma = 1.4$, $M_\infty = \infty$) 的激波的形状. 在这里除 K_s 外, 其它各物理量都可以通过 Rankine-Hugoniot 关系表达为激波角 β 的函数. 在高超声速的条件下, 如果 $\beta \ll 1$, K_s 可以根据小扰动理論来近似地計算的. 由于 $\theta \ll 1$, 根据小扰动理論, x, r 方向的速度分量的量級是 $u = U_\infty[1 + O(\tau^2)]$ 和 $\frac{v}{U_\infty} = O(\tau)$, 所以

$$\theta \approx \operatorname{tg} \theta \approx \frac{v}{U_\infty},$$

$$\frac{\partial\theta}{\partial s} \approx \frac{1}{U_\infty} \left[\frac{\partial v}{\partial x} + \frac{\partial v}{\partial r} \frac{v}{U_\infty} \right]. \quad (15)$$

张涵信在处理这个問題的时候引入

$$\lambda = \frac{r}{r_w}, \quad Y = \frac{1}{M_\infty^2 \sin^2 \beta(x)};$$

并且令

$$\frac{p}{p_w} = h(\lambda, Y), \quad \frac{\rho}{\rho_w} = g(\lambda, Y), \quad \frac{v}{v_w} = f(\lambda, Y).$$

在 $M_\infty^2 \sin^2 \beta(x) \gg 1$ 的条件下, h, g, f 可以展为

$$h = h_0(\lambda) + Y h_1(\lambda) + \dots,$$

$$g = g_0(\lambda) + Y g_1(\lambda) + \dots,$$

$$f = f_0(\lambda) + Y f_1(\lambda) + \dots$$

如果仅考虑零級近似 $f = f_0(\lambda)$, 則

$$v \approx v_w f_0(\lambda) \quad \text{或} \quad \theta \approx \theta_w f_0(\lambda).$$

将上式代入式(15), 并利用 Rankine-Hugoniot 关系 ($Y = 0$), 我們得到

$$\left(\frac{\partial \theta}{\partial s}\right)_w = \frac{2}{\gamma + 1} \left[-f'_0(1) \sin^2 \beta \frac{1}{r_w} + \frac{d\beta}{dx} f_0(1) + f'_0(1) \frac{2}{\gamma + 1} \frac{\sin^2 \beta}{r_w} \right].$$

根据相似性解的边界条件:

$$f_0(1) = 1, \quad f'_0(1) = \frac{\gamma + 3}{\gamma + 1},$$

上式可改写为

$$\left(\frac{\partial \theta}{\partial s}\right)_w = \frac{2(\gamma + 3)(1 - \gamma) \sin^2 \beta}{(\gamma + 1)^3 r_w} + \frac{2}{\gamma + 1} \frac{d\beta}{dx}. \quad (16)$$

把式(16)和 Rankine-Hugoniot 关系代入式(11), 在 $M_\infty = \infty$ 的条件下, 经过整理后得到

$$\begin{aligned} & \frac{2(\gamma + 1) \left(1 + \frac{\gamma - 1}{\gamma}\right) - (8\gamma - 4) \sin^2 \beta - \frac{1}{\gamma(\gamma + 1) \cos^2 \beta} [(\gamma + 1)^2 - 4\gamma \sin^2 \beta]^{3/2}}{2 \sin \beta \cos \beta (\gamma - 1) - \frac{(\gamma + 3)(1 - \gamma)}{\gamma(1 + \gamma)^3} \operatorname{tg} \beta [(\gamma + 1)^2 - 4\gamma \sin^2 \beta]^{3/2}} d\beta = \\ & = -\frac{dr_w}{r_w}. \end{aligned} \quad (17)$$

通过数值积分, 并任取 Чушкин^[6] 计算的一点 A 作为初始值 ($x_0 = 1.200$, $r_{w0} = 1.663$, $\sin \beta_0 = 0.500$), 我們就算出了激波的形状 (图 2). 为了进行比较, 在图中也给出了 Чушкин 的精确计算结果 ($M_\infty = \infty$, $\gamma = 1.4$) 和在空气中的实验结果 ($M_\infty = 7.7$, $C_D = 0.914$). 可以看出, 本文结果与 Чушкин 的精确计算结果是相当符合的. 虽然由于 M 数不同, 与实验结果比较是有距离的, 但是趋势还是一致的.

为了近似地求解, 我們可以将 $d\beta$ 的系数按 $\operatorname{tg} \beta$ 展开, 并保留到 $\operatorname{tg} \beta$:

$$\left[\frac{1}{\operatorname{tg} \beta} - A(\gamma) \operatorname{tg} \beta \right] d\beta = -\frac{dr_w}{r_w},$$

式中

$$A(\gamma) = \frac{(\gamma - 1)(7\gamma^2 + 14\gamma + 1)}{3(\gamma + 1)^3}.$$

积分后得

$$r_w \sin \beta \cos^4 \beta = \text{const.} = \frac{c_1}{\sqrt{2}} \quad (18)$$

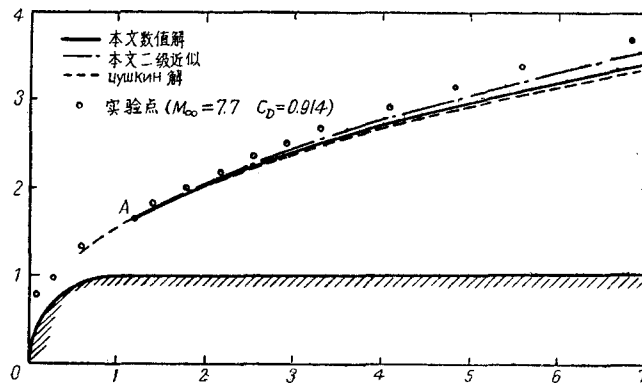


图 2 激波的形状

或

$$\operatorname{tg} \beta = \sqrt{2} \left[\frac{r_w - \sqrt{r_w^2 - (A+1)c_1^2}}{(A+1)c_1} \right].$$

由于 $\operatorname{tg} \beta = \frac{dr_w}{dx}$, 积分后得

$$r_w \sqrt{r_w^2 - (A+1)c_1^2} - (A+1)c_1^2 \ln(r_w + \sqrt{r_w^2 - (A+1)c_1^2}) + r_w^2 = 2^{3/2} c_1 x + c_2, \quad (19)$$

式中 c_1, c_2 是两积分常数。在同样的初始值下,图 2 也给出了式(19)的结果,它与 Чушкин 的结果也是符合得较好的。显然,当 r_w 很大时, $r_w \propto \sqrt{x}$, 这和爆炸波比拟理论的结果一致。

上面的计算清楚地说明,在高超声速气流绕过钝头圆柱体时,激波的形状和流场是紧密相关的。对于这种激波,用 Whitham 的特征准则来计算是很不精确的。

五、结 论

总结以上讨论,我们认为:

1. Rosciszewski 所建立的激波和另一边界上各物理量之间的关系是不正确的。
2. Whitham 的特征准则一般仅适用于弱激波。对于计算向中心传播的强激波,它的成功是由于激波运动方程中与流场有关的因子 $\left(\frac{\partial t}{\partial t} + \rho a \frac{\partial v}{\partial t} \right)$ (v, a, t 分别为气体质点速度、声速和时间)中的两项几乎相互抵消,这样 Whitham 的特征准则和激波运动方程便基本上趋于一致了。但这只是一个例外。
3. 孤立地计算激波的形状一般是不可能的;如果激波上流线的曲率可以近似地计算,激波和流线曲率之间的关系便可以近似作为研究激波形状的基础。

本文是在郭永怀同志直接指导下完成的,在此向他表示衷心的感谢。

参 考 文 献

- [1] Chester, W., The quasi-cylindrical shock tube, *Phil. Mag.* (7), 45, 371, 1954, 1293—1301.
- [2] Whitham, G. B., On the propagation of shock waves theory regions of non-uniform area or flow, *Jour. Fluid Mech.*, 4, 4, 1958, 337—360.
- [3] Rosciszewski, J., Calculations of the motion of non-uniform shock waves, *Jour. Fluid Mech.*, 8, 3, 1960, 337—367.
- [4] Rosciszewski, J., Hypersonic flow around bodies of revolution, *Jour. Aero. Sci.*, 28, 2, 1961, 168—170.
- [5] Белоцерковский, О. М., Расчет обтекания осесимметричных тел с отошедшей ударной (Расчетные формулы и таблицы полей течений), Вычислительный центр АН СССР, Москва, 1961.
- [6] Чушкин, П. И., Шулишина, Н. П., Таблицы сверхзвукового течения около заглушенных конусов, Вычислительный центр АН СССР, Москва, 1961.

APPROXIMATE METHOD FOR CALCULATING THE SHAPE OF A SHOCK WAVE IN HYPERSONIC FLOWS

JIANG YU-SHU

(*Institute of Mechanics, Academia Sinica*)

ABSTRACT

In this paper, Rosciszewski's method for calculating the shape of a shock wave is examined. It is shown that the differential relationship connecting quantities on a shock and those on a given curve as given by Rosciszewski is incorrect. If his procedure is carried out correctly, the result obtained is no other than the well-known relationship between curvatures of the shock and the streamline behind the shock. It is also shown that Whitham's characteristic rule, in general, does not apply to an expanding shock except for weak ones. As an example, an approximate calculation of the shock shape by utilizing the equation for the curvatures of the shock and the streamline is made in the case of a blunt-nosed body in hypersonic flow.